

计算流体力学第二次大作业

倪子珺 PB19051007

2022 年 5 月 10 日

目录

1	问题描述	2
2	问题求解和方程的 ADI 离散	3
2.1	内点的离散	3
2.2	边界点的处理	3
2.3	求解流程简述	3
3	程序编写	5
3.1	三对角矩阵的求解	5
3.2	数据存储	5
3.3	函数定义部分	6
3.4	程序主体部分	7
4	结果分析	10
4.1	数值误差与离散步长的关系	10
4.2	计算误差与时间的关系	12

1 问题描述

在一个矩形区域 $0 \leq x \leq 1, 0 \leq y \leq 1$ 内，数值求解下面问题：

已知控制方程为：

$$\frac{\partial u}{\partial t} = \sigma \left(\frac{\partial^2 u}{\partial x^2} + \frac{\partial^2 u}{\partial y^2} \right) \quad (\text{扩散方程}) \quad (1)$$

其解析解为

$$u(x, y, t) = 20 + 80 \left[y - e^{-0.5\sigma\pi^2 t} \sin\left(\frac{\pi x}{2}\right) \sin\left(\frac{\pi y}{2}\right) \right] \quad (2)$$

式中 $\sigma = \sigma_x = \sigma_y = 1$ 。初始条件为

$$u(x, y)|_{t=0} = 20 + 80 \left[y - \sin\left(\frac{\pi x}{2}\right) \sin\left(\frac{\pi y}{2}\right) \right] \quad (0 < x < 1, 0 < y < 1)$$

边界条件

$$u(0, y, t) = 20 + 80y = f_1(y, t) \quad (x = 0)$$

$$u(1, y, t) = 20 + 80 \left[y - e^{-0.5\sigma\pi^2 t} \sin\left(\frac{\pi}{2}y\right) \right] = f_2(y, t) \quad (x = 1)$$

$$u(x, 0, t) = 20 = g_1(x, t) \quad (y = 0)$$

$$u(x, 1, t) = 20 + 80 \left[1 - e^{-0.5\sigma\pi^2 t} \sin\left(\frac{\pi}{2}x\right) \right] = g_2(x, t) \quad (y = 1)$$

试求解下列问题：

(1) 采用 ADI 或 AF 格式离散上述偏微分方程；

(2) 分别在：

1. 时间步长 $\Delta t = 0.02$ ，网格间距为 $\Delta x = 0.1, 0.05, 0.025$ 的均匀网格；

2. 网格间距 $\Delta x = \Delta y = 0.05$ ，时间步长 $\Delta t = 0.005, 0.01, 0.02, 0.04$ ；

的情况下数值求解问题 (1) 中所得到的差分方程；

(3) 定义数值误差 $\varepsilon(t) = \|u_{\text{exact}}(t) - u_{\text{num}}(t)\|$ ，分别给出 $\varepsilon(1)$ 与时间步长、网格间距之间的关系（使用对数坐标系，即 $\log \varepsilon \sim \log h$ ），观察是否为线性，斜率如何？并试解释其原因，分析收敛性；

(4) 定义计算误差 $E_h = \|u_{i,j}^{n+1} - u_{i,j}^n\|$ （即 $E_h = \max_{i,j \in \Omega} |u_{i,j}^{n+1} - u_{i,j}^n|$ ），作出 $\log E_h$ 随时间变化曲线。

2 问题求解和方程的 ADI 离散

2.1 内点的离散

由 ADI 格式可以将方程(1)写成如下两步格式:

$$\begin{cases} u_{i,j}^* - u_{i,j}^n = \frac{1}{2}\Delta t \left[\sigma_x \frac{u_{i+1,j}^* + u_{i-1,j}^* - 2u_{i,j}^*}{\Delta(\Delta x)^2} + \sigma_y \cdot \frac{u_{i,j+1}^{2n} + u_{i,j-1}^n - 2u_{i,j}^n}{(\Delta y)^2} \right] & (3) \\ u_{i,j}^{n+1} - u_{i,j}^* = \frac{1}{2}\Delta t \left[\sigma_x \frac{u_{i+1,j}^* + u_{i-1,j}^* - 2u_{i,j}^*}{(\Delta x)^2} + \sigma_y \cdot \frac{u_{i,j+1}^{n+1} + u_{i,j-1}^{n+1} - 2u_{i,j}^n}{(\Delta y)^2} \right] & (4) \end{cases}$$

由于题中所用网格均为均匀网格 (即 $\Delta x = \Delta y = \Delta l$), 则上两式可以整理为:

$$\begin{cases} \alpha u_{i+1,j}^* - (2\alpha + 1)u_{i,j}^* + \alpha u_{i-1,j}^* = -\alpha u_{i,j+1}^n - \alpha u_{i,j-1}^n + (2\alpha - 1)u_{i,j}^n & (5) \\ \alpha u_{i,j+1}^{n+1} - (2\alpha + 1)u_{i,j}^{n+1} + \alpha u_{i,j-1}^{n+1} = -\alpha u_{i+1,j}^* - \alpha u_{i-1,j}^* + (2\alpha - 1)u_{i,j}^* & (6) \end{cases}$$

其中 $\alpha = \sigma \Delta t / 2(\Delta l)^2$ 。

2.2 边界点的处理

由于题中的边界条件均为第一类边界条件, 故在边界处可以直接求得导数项, 无需利用差分方法。

当 $x = 0$, 即 $i = 1$ 时, 此时无需求解原来的两步法, 因

$$\begin{cases} u_{1,j}^* = f_1(j\Delta y, (n + 1/2)\Delta t). \\ u_{1,j}^{n+1} = f_1(j\Delta y, (n + 1)\Delta t) \end{cases}$$

均可直接由边界条件得到。其他边界条件同理, 列出如下:

$$\begin{cases} u_{N,j}^* = f_2(j\Delta y, (n + 1/2)\Delta t), u_{N,j}^{n+1} = f_2(j\Delta y, (n + 1)\Delta t) \\ u_{i,1}^* = g_1(i\Delta x, (n + 1/2)\Delta t), u_{i,1}^{n+1} = g_1(i\Delta x, (n + 1)\Delta t) \\ u_{i,N}^* = g_2(i\Delta x, (n + 1/2)\Delta t), u_{i,N}^{n+1} = g_2(i\Delta x, (n + 1)\Delta t) \end{cases} \quad (7)$$

2.3 求解流程简述

由 2.1和 2.2中的分析, 最终得到总体的算法如下:

3 程序编写

3.1 三对角矩阵的求解

以下展示求解三对角矩阵的函数

```
function [sol] = catching(A,b)
%计算beta
[N,~] = size(b');
beta(1) = A(1,2)/A(1,1);
for n = 2:N-1
    beta(n) = A(n,n+1)/(A(n,n) - A(n,n-1)*beta(n-1));
end
%求解Ly = b
y(1) = b(1)/A(1,1);
for n = 2:N
    y(n) = (b(n)-A(n,n-1)*y(n-1))/(A(n,n)-A(n,n-1)*beta(n-1));
end

%求解Ux = y
sol(N) = y(N);
for n = 1:N-1
    sol(N-n) = y(N-n) - beta(N-n)*sol(N-n+1);
end
end
```

3.2 数据存储

利用 Matlab 提供的结构体数组，可以方便地存储时间步结果以及对应的参数。结构体 diff 中包含 4 个字段：dl, dt, RES 和 maxerror。其中 dl 为均匀网格的尺寸，dt 是时间步长，RES 则存储每一个时间步的结果，maxerror 则存储对应于每个时间步的最大误差绝对值。故程序开始计算前先进行了如下初值定义：

```
%常数定义
diff(1).dt = 0.02;
diff(1).dl = 0.1;
diff(1).RES = {};
diff(1).maxerror = 0;
```

```

diff(2).dt = 0.02;
diff(2).dl = 0.05;
diff(3).dt = 0.02;
diff(3).dl = 0.025;
diff(4).dt = 0.005;
diff(4).dl = 0.05;
diff(5).dt = 0.01;
diff(5).dl = 0.05;
diff(6).dt = 0.02;
diff(6).dl = 0.05;
diff(7).dt = 0.04;
diff(7).dl = 0.05;
global sigma
sigma = 1;
global T
T = 1;%计算时间域
global L
L = 1;%计算空间域
%常数定义完毕

```

而对于数据存贮，程序则在每一个时间步计算完成后进行如下处理：

```

diff(z).RES{tn} = u;
REALRES{tn} = percise(dl0,tn*dt0);
ERROR{tn} = abs(u - REALRES{tn});

```

其中 dl0 和 tn 等参数详见 3.4 节中代码的注释。

3.3 函数定义部分

除了三对角矩阵的求解函数外，为了使程序简单且更具可移植性，程序将边界条件以及精确解等编写为函数在主程序中调用，如下所示：

```

function [res] = percise(dl,t)%微分方程精确解
global sigma;
global T;
mid = -sigma*pi^2*t/2;
N = T/dl + 1;

```

```

for i = 1 : N
    for j = 1:N
midx = pi*(i-1)*dl/2;
midy = pi*(j-1)*dl/2;
res(i,j) = 20+80*((j-1)*dl - exp(mid)*sin(midx)*sin(midy));
    end
end

function [res] = f1(y0,~)%x = 0 处的边界条件
res = 20 + 80*y0;
end

function [res] = f2(y0,t)% x = 1处的边界条件
global sigma;
mid = -sigma*(pi^2)*t/2;
res = 20 + 80*(y0 - exp(mid)*sin(pi*y0/2));
end

function [res] = g1(~,~)% y = 0 处的边界条件
res = 20;
end

function [res] = g2(x0,t)
global sigma;
mid = -sigma*pi^2*t/2;
res = 20 + 80*(1 - exp(mid)*sin(pi*x0/2));
end

```

3.4 程序主体部分

代码如下:

```

for z = 1:7%7为总的网格剖分情况数
    clear A;
    clear b;

```

```

clear u;
clear u_star;
dl0 = diff(z).dl;
dt0 = diff(z).dt;
alpha = sigma*dt0/(2*(dl0)^2);
N = L/dl0 + 1;
Nt = T/dt0;
%生成刚度矩阵
A(1,1) = 1;
A(N,N) = 1;
for i = 2:N-1
    A(i,i-1) = alpha;
    A(i,i) = -(2*alpha+1);
    A(i,i+1) = alpha;
end
u = percise(dl0,0);
u_star = zeros(N,N);
for tn = 1:Nt
    %开始求解u*
    %当j=1
    for n = 1:N
        u_star(n,1) = g1((n-1)*dl0,tn*dt0);
    end
    %当j = 2~N-1
    for j = 2:N-1
        b(1) = f1((j-1)*dl0,(tn-1/2)*dt0);
        for l = 2:N-1
            b(l) = -alpha*(u(l,j+1)+u(l,j-1) ...
                -2*u(l,j))-u(l,j);
        end
        b(N) = f2((j-1)*dl0,(tn-1/2)*dt0);
        u_star(:,j) = catching(A,b);
    end
    %当j = N
    for n = 1:N

```

```

        u_star(n,N) = g2((n-1)*dl0,tn*dt0);
    end
    %u* 求解完成
%开始求解 u^{n+1}
    %当 i = 1
    for n = 1:N
        u(1,n) = f1((n-1)*dl0,tn*dt0);
    end
    %当 i=2~N-1
    for i = 2:N-1
        b(1) = g1((i-1)*dl0,(tn)*dt0);
        for l = 2:N-1
            b(l) = -alpha*(u_star(i+1,l)+ ...
                u_star(i-1,l)-2*u_star(i,l)) ...
                -u_star(i,l);
        end
        b(N) = g2((i-1)*dl0,(tn)*dt0);
        u(i,:) = catching(A,b);
    end
    %当 i = N
    for n = 1:N
        u(N,n) = f2((n-1)*dl0,tn*dt0);
    end
    %数据存储部分和作图部分略去
end
end

```

4 结果分析

4.1 数值误差与离散步长的关系

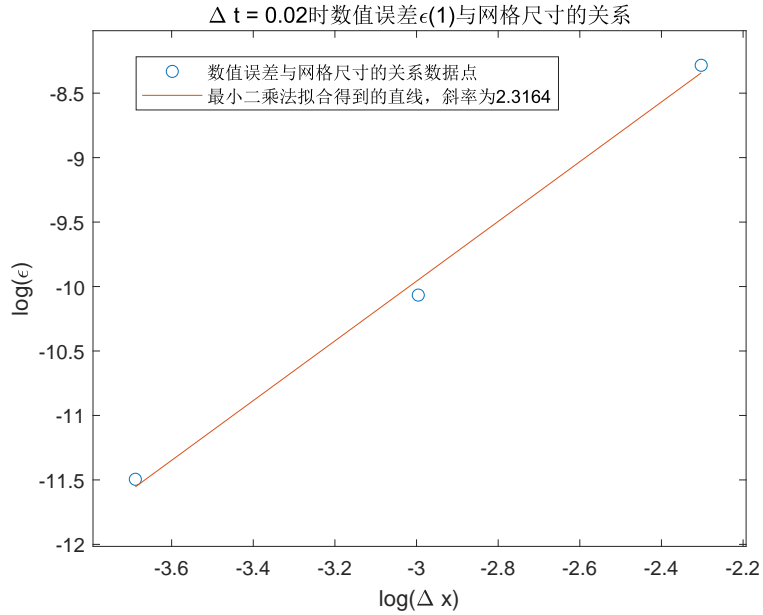


图 1: 数值误差与网格间距的关系 ($\Delta t = 0.02$)

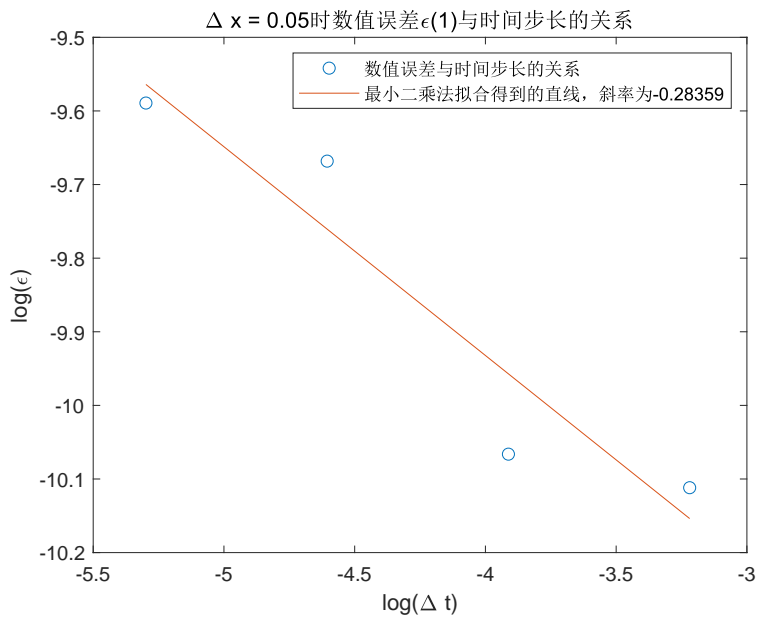


图 2: 数值误差与时间步长的关系 ($\Delta x = 0.05$)

由图 1 可知，当时间步长 $\Delta t = 0.02$ 时，数值误差与网格间距二者的对数值均大致呈线性关系，图 1 中由最小二乘法求得的斜率约为 $2.31 > 0$ ，即 $\epsilon(1) \sim \Delta x^{2.31}$ ，说明此格式收敛，且精度约为二阶。

由图 2 可知，当网格间距 $\Delta l = 0.05$ 时，数值误差与时间步长二者的对数值均大致呈线性关系，图 2 中由最小二乘法求得的斜率约为 $-0.28 < 0$ ，即 $\epsilon(1) \sim \Delta t^{-0.28}$ ，这与 ADI 格式的收敛性相悖。尝试更换网格间距为 $\Delta l = 0.01$ 时得到如下图所示结果：

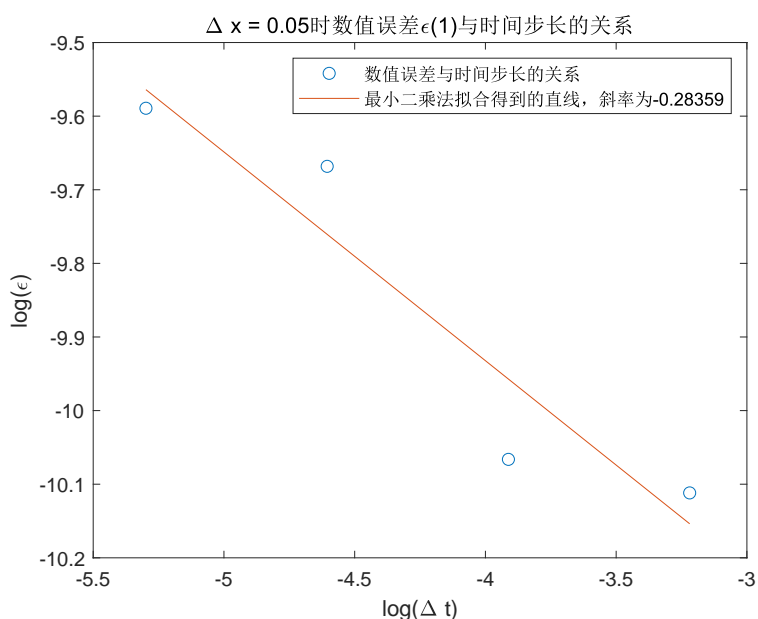


图 3: 数值误差与时间步长的关系 ($\Delta x = 0.01$)

此时由最小二乘法求得的斜率约为 2.25，与 $\Delta l = 0.05$ 时的结果不一致。为了探究出现这种情况的原因，再取 $\Delta x = \frac{1}{40}, \frac{1}{60}, \frac{1}{80}, \frac{1}{100}$ 画出如下所示数值误差与时间步长的关系图：

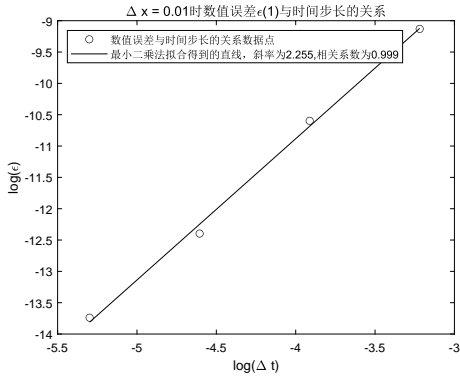


图 4: $\Delta x = \Delta y = 1/100$

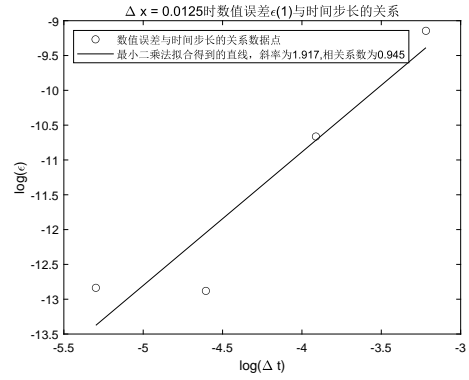


图 5: $\Delta x = \Delta y = 1/80$

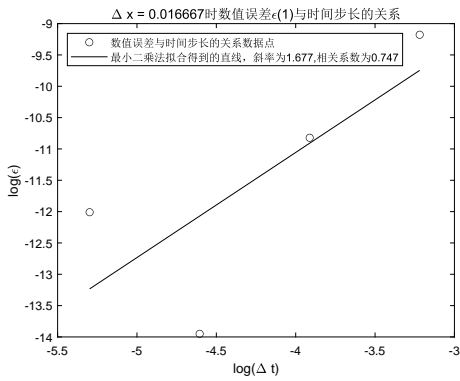


图 6: $\Delta x = \Delta y = 1/60$

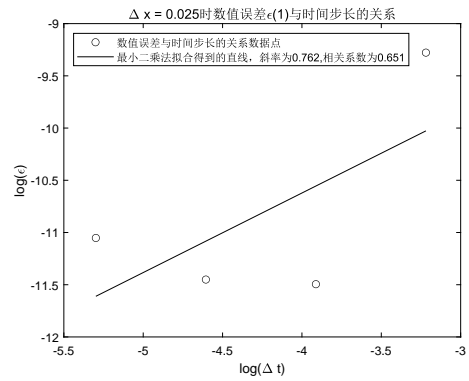


图 7: $\Delta x = \Delta y = 1/40$

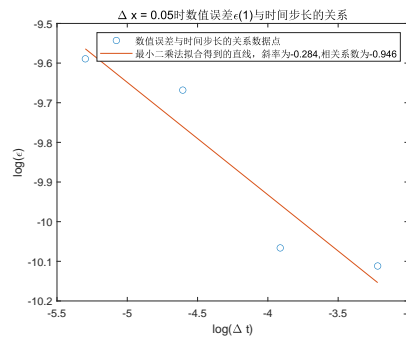


图 8: $\Delta x = \Delta y = 1/20$

由上述五个图像可以看出，当网格间距增大时，数值误差与时间的关系的线性性越来越差（相关系数越来越小），同时斜率也越来越低。故造成如图 2 所示斜率为负数（即时间步长越小误差反而越大）的原因可能是此时网格间距较大，从而使数值误差主要由网格间距主导，与时间步长关系较弱。

4.2 计算误差与时间的关系

采用半对数坐标系，纵坐标计算误差 E_h 为对数刻度，横坐标计算时间 t 为正常刻度，针对题中六种不同参数组合得到下列图像：

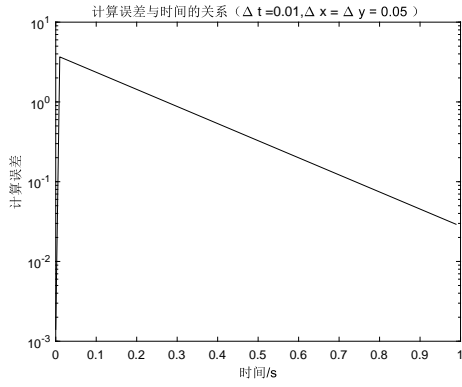


图 9: $\Delta t = 0.01, \Delta x = \Delta y = 0.05$

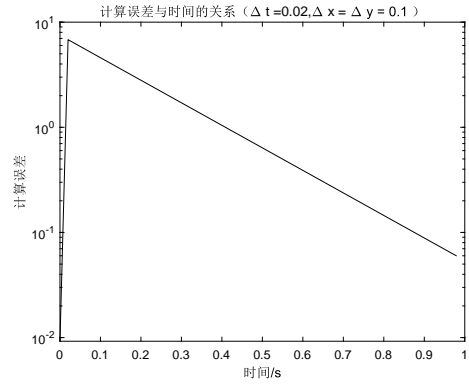


图 10: $\Delta t = 0.02, \Delta x = \Delta y = 0.1$

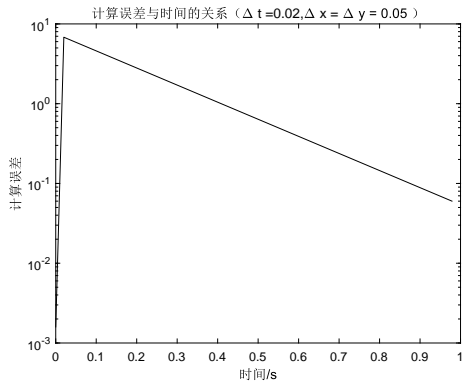


图 11: $\Delta t = 0.02, \Delta x = \Delta y = 0.05$

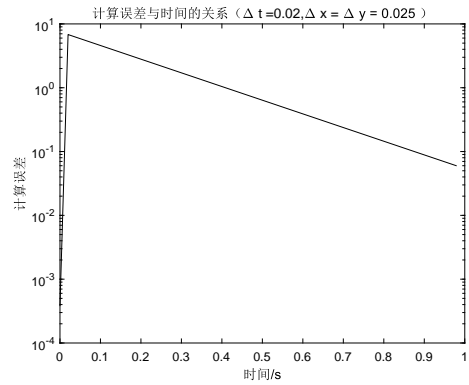


图 12: $\Delta t = 0.02, \Delta x = \Delta y = 0.025$

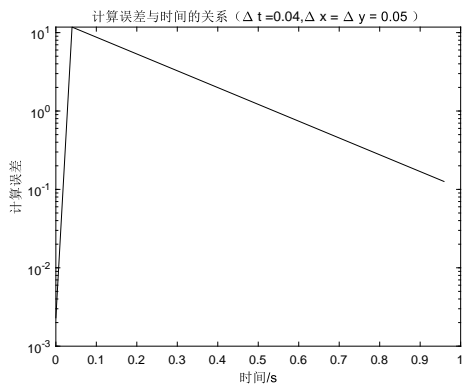


图 13: $\Delta t = 0.04, \Delta x = \Delta y = 0.05$

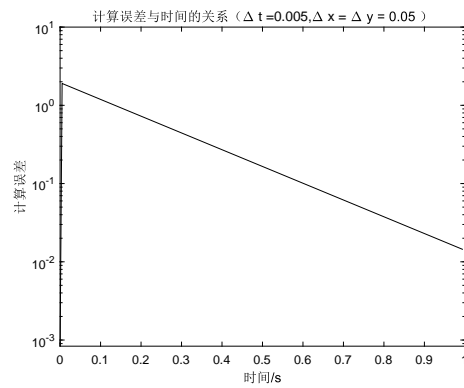


图 14: $\Delta t = 0.005, \Delta x = \Delta y = 0.05$

由上述图像可以看出， $\log(E_h)$ 与时间呈线性关系，且随着计算时间的增加，误差也随之减小。